

## ПОВЕРХНОСТНЫЕ ЭЛЕКТРОУПРУГИЕ ВОЛНЫ ЛЯВ В СИСТЕМЕ С ПЬЕЗОЭЛЕКТРИЧЕСКОЙ ПОДЛОЖКОЙ И ДИЭЛЕКТРИЧЕСКИМ СЛОЕМ

(Исследование поведения коэффициента электромеханической связи)

Даноян З.Н., Даноян Н.З., Манукян Г.А.

Զ. Ն. Դանոյան, Ն. Զ. Դանոյան, Գ.Ա.Մանուկյան  
Լյամի մակերևույթային կլիմատառածզական ալիքները դիմումութիւնը շերտով  
և պնդութեամբ հիմքով շնորապիր համակարգում  
(Հենքարամնախանիկական կասի գործակից վարդի հետազոտում )

Աշխատանքում հնասարակում է Լուսի էլեկտրատառագավաճան այդքների գործոցուն և փառք 6,4,622,422,6ուն 4ուն դասի պատրիկ կիմքու և կամոյաման հաստոցայսի իզուրու ուղիւրութիւնը շնորու համակարգու կախան շնորութիւն համակարգի թիզիկա-մեխանիկական բնուագիւների և շնորու հարաբերական հաստոցայսինց: Մտացմէ է մակերևույթային այդքի բնուացարի հավատառու որոնեն այդքի տարածանուն փոխային արագագույն նկատմամբ կախան վեց ընթափա պարամետրութիւն: Մախրանան պարզութանաւ և ընթափացի հավատարման մէջ մոնուն մակերևույթային այդքի էլեկտրա միջանիկական կափ քորակի (ԷՄԿՎ) փառք կախան համակարգի բնուագիւների և շնորու հարաբերական հաստոցայսինց: Ըստ ԷՄԿՎ-ի համերժանների դիտարկու կամակարգը տրոհվի մն մի բանի խոների: Հոգվածում ստացված արյունների կօգտագործվն հնտապայտն նախը ըստույթային այդքի բնուացարի հավատարման, նոր գոյացուն և մեծեն վայրու սաստանաւուն հոգած:

Z.N.Danoyan,<sup>1</sup>N. Z. Danoyan,<sup>2</sup>G.A.Manukyan  
 The Surface Electroelastic Love's Waves in a Layered System with  
 a Piezoelectric Substructure and Dielectric Layer  
 (The investigation of the behaviour of the electromechanical connection coefficient)

В работе исследуется существование и поведение электроупругих волн Лява в слоистой системе из пьезоэлектрической подложки классов 6, 4, 6mm, 4mm, 622, 422 и изотропного диэлектрического слоя произвольной толщины в зависимости от физико-механических характеристик слоистой системы и относительной толщины слоя. Получено характеристическое уравнение искомой поверхностной волны относительно фазовой скорости распространения, зависящей от вышеуказанных параметров. Подробно выяснено поведение коэффициента электромеханической связи (КЭМС), входящего в характеристическое уравнение поверхностной волны, в зависимости от характеристик слоистой системы и относительной толщины слоя. По свойствам КЭМС рассматриваемые слоистые системы разделены на определенные группы. Полученные в работе результаты будут использоваться в дальнейшем для исследования характеристического уравнения, существования и поведения мод поверхностной волны.

Введение

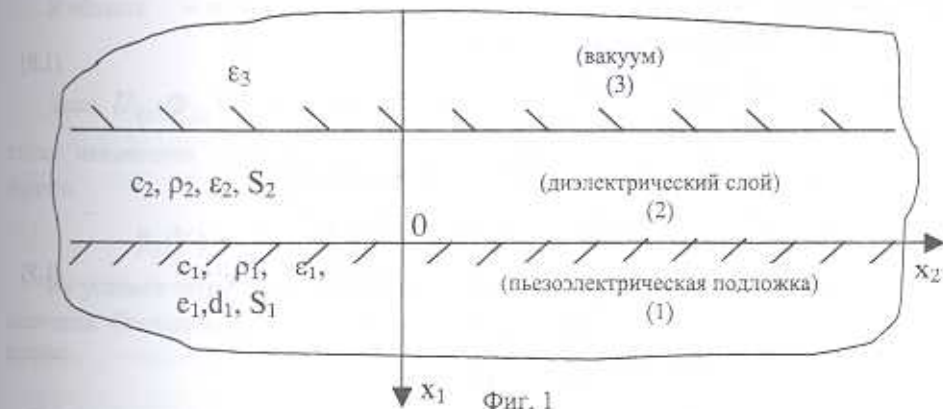
Известно [1,2,10,12], что в полуబесконечной изотропной подложке, на которую нанесен изотропный слой из другого материала, могут распространяться сдвиговые поверхностные упругие волны горизонтальной поляризации, называемые волнами Лява. Волны Лява существуют только в случае мягкого слоя, когда скорость распространения объемной упругой волны в слое  $S_{02}$  меньше, чем скорость распространения упругой объемной волны в подложке  $S_{01}$ , причем скорость  $V_{0L}$  волн Лява удовлетворяет условию  $S_{02} < V_{0L} < V_{01}$ . Представляет интерес исследование волн Лява в слоистых системах, когда подложка или слой является пьезоэлектриком [3-10]. В [3,4,7,9] исследован вопрос существования волн Лява, когда слой является диэлектриком, а подложка — пьезоэлектриком. В [5-6] рассмотрена электроупругая задача Лява, когда слой является проводником, а

подложка – пьезоэлектриком. В [8] рассматривается случай, когда слой является пьезоэлектриком, а подложка – диэлектриком.

В настоящей работе рассматриваются электроупругие волны Лява для пьезоэлектрических подложек классов 6,4,6мм, 4мм, 622, 422 с диэлектрическим слоем, дополняя и уточняя результаты работ [3,4,7]. Подробно исследуется поведение коэффициента электромеханической связи (КЭМС), входящего в характеристическое уравнение поверхностной волны, в зависимости от характеристик слоистой системы и относительной толщины слоя. По свойствам КЭМС рассматриваемые слоистые системы разделены на определенные группы. Полученные в работе результаты будут использоваться в дальнейшем для исследования характеристического уравнения, существования и поведения мод поверхностной волны.

### 1. Основные соотношения задачи

Пусть слоистая система, состоящая из диэлектрического изотропного слоя толщины  $h$  и полубесконечной пьезоэлектрической подложки классов 4, 6, 4мм, 6мм, 422, 622, находящихся в жестком контакте, отнесена к прямоугольной декартовой системе координат  $Ox_1x_2x_3$  (фиг.1). Ось  $Ox_3$  совпадает с главной осью симметрии ( $L_4$  или  $L_6$ ) пьезоэлектрической подложки и лежит в плоскости  $x_1 = 0$  границы раздела слоя и подложки, ось  $Ox_1$  направлена в глубь подложки. Вне слоистой системы (в области  $x_1 < -h$ ) предполагается вакуум (или диэлектрическая среда, которая граничит со слоем без акустического контакта). Границы слоя  $x_1 = 0$  и  $x_1 = -h$  электрически свободны (неметаллизированы), граница  $x_1 = -h$  механически свободна.



Фиг. 1

Далее рассматривается антиплюсковая задача:

$$\begin{cases} u_1 = 0, u_2 = 0, u_3 = u(x_1, x_2, t), -h \leq x_1 < +\infty \\ \varphi = \varphi(x_1, x_2, t), -\infty < x_1 < +\infty, \end{cases} \quad (1.1)$$

где  $u_i$  – компоненты упругого смещения,  $\varphi$  – потенциал электрического поля, связанный с вектором напряженности электрического поля  $\vec{E}$  соотношением:

$$E_i = -\partial \varphi / \partial x_i \quad (1.2)$$

Учитывая (1.1), из уравнений и соотношений электроупругости пьезоэлектрических сред рассматриваемых классов, получим следующие уравнения и граничные условия [2-4, 6-10]:

#### 1. Уравнения:

- 1) в области  $x_1 > 0$  (в подложке):

$$\Delta u_1 = \frac{1}{S_1^2} \frac{\partial^2 u_1}{\partial t^2}, \quad \Delta \varphi'_1 = 0 \quad (1.3)$$

2) в области  $-h < x_1 < 0$  (в слое):

$$\Delta u_2 = \frac{1}{S_2^2} \frac{\partial^2 u_2}{\partial t^2}, \quad \Delta \varphi_2 = 0 \quad (1.4)$$

3) в области  $x_1 < -h$  (в вакууме):

$$\Delta \varphi_3 = 0 \quad (1.5)$$

2. Границные условия:

1) на границе  $x_1 = 0$ :

$$\begin{aligned} u_1 &= u_2, \quad \bar{e}_1 u_1 + \varphi'_1 = \varphi_2, \quad -\varepsilon_1 \frac{\partial \varphi'_1}{\partial x_1} + d_1 \frac{\partial u_1}{\partial x_2} = -\varepsilon_2 \frac{\partial \varphi_2}{\partial x_1} \\ \bar{c}_1 \frac{\partial u_1}{\partial x_1} - e_1 \frac{\partial \varphi'_1}{\partial x_1} - d_1 \bar{e}_1 \frac{\partial u_1}{\partial x_2} - d_1 \frac{\partial \varphi'_1}{\partial x_2} &= c_2 \frac{\partial u_2}{\partial x_1} \end{aligned} \quad (1.6)$$

1. на границе  $x_1 = -h$

$$\varphi_2 = \varphi_3, \quad \frac{\partial u_2}{\partial x_1} = 0, \quad -\varepsilon_2 \frac{\partial \varphi_2}{\partial x_1} = -\varepsilon_3 \frac{\partial \varphi_3}{\partial x_1} \quad (1.7)$$

Для получения поверхностных волн решения должны удовлетворять условиям затухания на бесконечности:

$$u_1 \rightarrow 0, \quad \varphi'_1 \rightarrow 0 \quad \text{при } x_1 \rightarrow +\infty \quad (1.8)$$

$$\varphi_3 \rightarrow 0 \quad \text{при } x_1 \rightarrow -\infty$$

Выше приняты следующие обозначения:

$$\begin{aligned} S_1 &= \sqrt{\bar{c}_1 / \rho_1}, \quad S_2 = \sqrt{c_2 / \rho_2}, \quad \bar{c}_1 = c_1(1 + \chi_1^2) \\ \chi_1^2 &= e_1^2 / \varepsilon_1 c_1, \quad c_1 = c_{44}^{(1)}, \quad c_2 = c_{44}^{(2)}, \quad d_1 = e_{34}^{(1)} \\ e_1 &= e_{15}^{(1)}, \quad \bar{e}_1 = e_1 / \varepsilon_1, \quad \varepsilon_1 = \varepsilon_{11}^{(1)}, \quad \varepsilon_2 = \varepsilon_{11}^{(2)}, \quad \varepsilon_3 = \varepsilon_{11}^{(3)} \\ \varphi'_1 &= \varphi_1 - \bar{e}_1 u_1, \quad \Delta = \frac{\partial^2}{\partial x_1^2} + \frac{\partial^2}{\partial x_2^2} \end{aligned} \quad (1.9)$$

Нижние индексы 1-3 относятся к подложке, слою и вакууму соответственно,  $S_1$  и  $S_2$  – скорости сдвиговых объемных волн,  $\chi_1$  – коэффициент электромеханической связи для объемной волны,  $c_1$  и  $c_2$  – упругие постоянные,  $e_1$  и  $d_1$  – пьезомодули,  $\varepsilon_1$ ,  $\varepsilon_2$ ,  $\varepsilon_3$  – диэлектрические проницаемости,  $\rho_1$  и  $\rho_2$  – массовые плотности,  $\varphi'_1$  – новая неизвестная, выражаясь через  $\varphi_1$  и  $u_1$ .

2. Решение граничной задачи. Характеристическое уравнение поверхностной волны

Решение граничной задачи (1.3)-(1.8) будем искать в виде плоских гармонических волн, распространяющихся в направлении оси  $Ox_2$ , с упругим смещением и электрическим потенциалом:

$$u = U(x_1) \exp(i(px_2 - \omega t)), \quad -h < x_1 < +\infty \\ \varphi = \Phi(x_1) \exp(i(px_2 - \omega t)), \quad -\infty < x_1 < +\infty \quad (2.1)$$

где  $\omega$  – частота,  $p$  – волновое число,  $U(x_1)$  и  $\Phi(x_1)$  – амплитуды смещения и потенциала, которые удовлетворяют условию затухания (1.8):

$$U(x_1) \rightarrow 0 \quad \text{при } x_1 \rightarrow +\infty \\ \Phi(x_1) \rightarrow 0 \quad \text{при } x_1 \rightarrow \pm\infty \quad (2.2)$$

В дальнейшем предполагается, что

$$\omega > 0, \quad p > 0 \quad (2.3)$$

а фазовая скорость волны определяется выражением:

$$V = \omega / p \quad (2.4)$$

Подставляя (2.2) в уравнениях (1.3)-(1.5) и удовлетворяя условиям затухания (2.2), получим решение вида:

В области  $x_1 > 0$ :

$$u_1 = U_{01} \exp(-p\beta_1(V)x_1) \exp(i(px_2 - \omega t)) \\ \varphi_1 = [U_{01}\bar{e}_1 \exp(-p\beta_1(V)x_1) + \Phi_{01} \exp(-px_1)] \exp(i(px_2 - \omega t)) \quad (2.5)$$

В области  $-h < x_1 < 0$ :

$$u_2 = [U_{02}^+ \exp(ip\beta_2(V)) + U_{02}^- \exp(-ip\beta_2(V)x_1)] \exp(i(px_2 - \omega t)) \\ \varphi_2 = [\Phi_{02}^+ \exp(px_1) + \Phi_{02}^- \exp(-px_1)] \exp(i(px_2 - \omega t)) \quad (2.6)$$

В области  $-\infty < x_1 < -h$ :

$$\varphi_3 = \Phi_{03} \exp(px_1) \exp(i(px_2 - \omega t)). \quad (2.7)$$

Здесь  $U_{01}, \Phi_{01}, U_{02}^+, U_{02}^-, \Phi_{02}^+, \Phi_{02}^-, \Phi_{03}$  – произвольные постоянные (которые также называются амплитудами),  $\beta_1(V)$  и  $\beta_2(V)$  – коэффициенты затухания, причем

$$\beta_1(V) = \sqrt{1 - (V^2 / S_1^2)}, \quad \beta_2(V) = \sqrt{(V^2 / S_2^2) - 1}$$

Из условия затухания (2.2) при  $x_1 \rightarrow +\infty$  следует, что  $\beta_1(V)$  положительная величина. Отсюда получается необходимое условие существования поверхностной волны:

$$0 < V_L < S_1 \quad (2.8)$$

и следует, что парциальная волна в подложке всегда должна быть неоднородной. Величина  $\beta_2(V)$  может быть как действительной, так и мнимой. В первом случае она должна быть положительной, что дает условие  $V_L > S_2$ . В этом случае в слое распространяются однородные упругие волны, испытывая полное внутреннее отражение от ограничивающих слоев поверхностей (как и в случае обычной волны Лява). Во втором случае, когда  $\beta_2(V)$  мнимая, имеет место условие  $V_L < S_2$ . В этом случае в слое будут распространяться неоднородные упругие парциальные волны, рождающие волны Лява щелевого типа.

Таким образом, решения (2.5)-(2.7) типа (2.1) уравнений (1.3)-(1.5), удовлетворяющих условию (2.8), состоят из одной неоднородной электроупругой волны в подложке, двух упругих (однородных или неоднородных) волн в слое, четырех неоднородных электростатических волн: одной в вакууме, двух в слое и одной в подложке. Совокупность указанных волн, которые удовлетворяют

граничным условиям (1.6)-(1.7), образуют сложную семипарциальную поверхность волну, которую мы и называем электроупругой волной Лява.

Подставляя решение (2.5)-(2.7) в граничные условия (1.6)-(1.7), получим однородную систему алгебраических уравнений относительно искомых амплитуд:

$$U_{01} = U_{02}^+ + U_{02}^-, \quad \bar{e}_1 U_{01} + \Phi'_{01} = \Phi_{02}^+ + \Phi_{02}^- \quad (2.9)$$

$$(\bar{c}_1 \beta_1 + i \bar{e}_1 d_1) U_{01} + (e_1 + i d_1) \Phi'_{01} = i c_2 \beta_2 (U_{02}^- - U_{02}^+)$$

$$\varepsilon_1 \Phi'_{01} + i d_1 U_{01} = -\varepsilon_2 (\Phi_{02}^+ - \Phi_{02}^-), \quad \Phi_{02}^+ e^{-k} + \Phi_{02}^- e^k = \Phi_{03} e^{-k}$$

$$\beta_2 (U_{02}^+ e^{-i \beta_2 k} - U_{02}^- e^{i \beta_2 k}) = 0, \quad \varepsilon_2 (\Phi_{02}^+ e^{-k} - \Phi_{02}^- e^k) = \varepsilon_3 \Phi_{03} e^{-k}$$

В (2.9) обозначено:

$$k = ph = 2\pi h / \lambda \quad (2.10)$$

где  $k$  – относительная толщина слоя,  $\lambda$  – длина волны,  $p$  – волновое число.

Предпоследнее уравнение системы (2.9) равносильно следующей совокупности уравнений:

$$\begin{cases} \beta_2(V) = 0, \\ U_{02}^+ e^{-i \beta_2 k} - U_{02}^- e^{i \beta_2 k} = 0 \end{cases} \quad (2.11)$$

На основании выражений (2.5)–(2.7) из (2.9) следует, что первое уравнение (2.11) является частным случаем второго. Поэтому в дальнейшем вместо предпоследнего уравнения (2.9) мы будем использовать второе уравнение из (2.11).

Условие существования нетривиального решения системы (2.8) дает характеристическое уравнение поверхности волны:

$$\beta_1(V) = c \beta_2(V) \lg[k \beta_2(V)] + R(k) \quad (2.12)$$

где приняты следующие обозначения:

$$R(k) = \frac{R_1^2 \bar{\varepsilon}_2 (\bar{\varepsilon}_2 \operatorname{th} k + 1) - K_1^2 \bar{\varepsilon}_1 (\bar{\varepsilon}_2 + \operatorname{th} k)}{\bar{\varepsilon}_2 (\bar{\varepsilon}_2 \operatorname{th} k + 1) + \bar{\varepsilon}_1 (\bar{\varepsilon}_2 + \operatorname{th} k)} \quad (2.13)$$

$$c = c_2 / \bar{c}_1, \quad \bar{\varepsilon}_1 = \varepsilon_1 / \varepsilon_3, \quad \bar{\varepsilon}_2 = \varepsilon_2 / \varepsilon_3 \quad (2.14)$$

$$R_1^2 = e_1^2 / \varepsilon_1 \bar{c}_1, \quad K_1^2 = d_1^2 / \varepsilon_1 \bar{c}_1 \quad (2.15)$$

Здесь  $R_1^2$  и  $K_1^2$  – коэффициенты электромеханической связи объемных волн,  $R(k)$  – коэффициент электромеханической связи поверхности волны.

Характеристическое уравнение (2.12) неявно определяет зависимость фазовой скорости электроупругой волны Лява от относительной толщины слоя  $k$  и физико-механических параметров слоистой системы.

Таким образом, мы приходим к заключению: для того, чтобы выражения (2.5)–(2.7) представляли собой волну Лява, необходимо, чтобы характеристическое уравнение поверхности волны (2.12) при фиксированном значении параметров задачи имело решение  $V = V_t(k)$ , которое удовлетворяет условию затухания (2.8).

### 3. Исследование коэффициента электромеханической связи

Из соотношений (2.12)–(2.15) следует, что при отсутствии пьезоэффекта  $e_1 = d_1 = 0$  КЭМС  $R(k)$  обращается в нуль, а характеристическое уравнение (2.12) совпадает с характеристическим уравнением обычной волны Лява [1.2]. При  $V > S_2$  обе величины  $\beta_1(V)$  и  $\beta_2(V)$  действительны, а фазовая скорость искомой волны определяется из характеристического уравнения (2.12). Если же  $V < S_2$ , то  $\beta_2(V)$  становится мнимой, волны Лява становятся щелевого типа, а их скорость

распространения будет определяться из преобразованного характеристического уравнения:

$$\beta_1(V) = -c\gamma_2(V)\operatorname{th}[k\gamma_2(V)] + R(k) \quad (3.1)$$

где

$$\gamma_2(V) = \sqrt{1 - (V^2 / S_2^2)} \quad (3.2)$$

Следует подчеркнуть, что вклад пьезоэфекта в характеристических уравнениях (2.12) и (3.1) проявляется двумя факторами: наличием коэффициента  $R(k)$  и зависимостью скорости объемной волны  $S_1 = (c_1 / \rho_1) \sqrt{1 + \chi_1^2}$  от пьезоэфекта. Отметим также, что характеристические уравнения (2.12) и (3.1) получены для классов 6 и 4. Для классов 6шт и 4мм следует в этих уравнениях и в других соответствующих выражениях положить  $d_1 = 0$ , а для классов 622, 422 положить  $e_1 = 0$ .

Далее примем следующее ограничение:

$$|R(k)| \ll 1 \quad (3.3)$$

что имеет место для большинства известных пьезоэлектриков [3,10].

Для исследования поведения функции  $R(k)$  найдем ее производную:

$$R'(k) = \frac{\bar{\epsilon}_1 \bar{\epsilon}_2 (R_1^2 + K_1^2)(\bar{\epsilon}_2 - 1)}{\operatorname{ch}^2 k [\bar{\epsilon}_2(1 + \bar{\epsilon}_2 \operatorname{th} k) + \bar{\epsilon}_1(\bar{\epsilon}_2 + \operatorname{th} k)]^2} \quad (3.4)$$

Отсюда непосредственно следует знак  $R'(k)$  и монотонность коэффициента  $R(k)$ , а именно:

$$\begin{aligned} R'(k) &> 0 & \bar{\epsilon}_2 &> 1 \\ R'(k) &= 0 & \bar{\epsilon}_2 &= 1 \\ R'(k) &< 0 & \bar{\epsilon}_2 &< 1 \end{aligned} \quad (3.5)$$

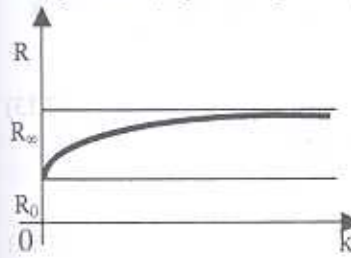
Согласно (3.5) знак функции  $R(k)$  определяется знаками ее значений на концах промежутка  $0 \leq k \leq \infty$

$$R_0 \equiv R(0) = \frac{R_1^2 - K_1^2 \bar{\epsilon}_1}{1 + \bar{\epsilon}_1} = \frac{1}{\bar{\epsilon}_1 \bar{C}_1} \frac{e_1^2 - d_1^2 \bar{\epsilon}_1}{1 + \bar{\epsilon}_1} \quad (3.6)$$

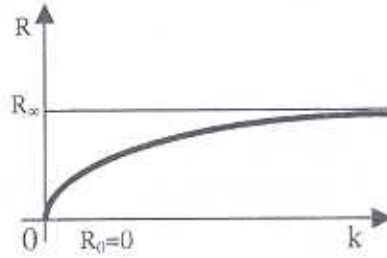
$$R_\infty \equiv R(\infty) = \frac{R_1^2 \bar{\epsilon}_2 - K_1^2 \bar{\epsilon}_1}{\bar{\epsilon}_2 + \bar{\epsilon}_1} = \frac{1}{\bar{\epsilon}_1 \bar{C}_1} \frac{e_1^2 \bar{\epsilon}_2 - d_1^2 \bar{\epsilon}_1}{\bar{\epsilon}_2 + \bar{\epsilon}_1} \quad (3.7)$$

На основании (3.5)-(3.7) получаем следующие характерные случаи поведения функции  $R(k)$  в зависимости от значений параметров  $\bar{\epsilon}_2$ ,  $\bar{\epsilon}_1$ ,  $e_1$  и  $d_1$ , рассматриваемой слоистой системы:

а) условия, при которых  $R(k) \geq 0$ :



а)



б)

Фиг.2

$$1) \bar{\varepsilon}_2 > 1, d_1 = 0 \text{ или } \bar{\varepsilon}_2 > 1, \bar{\varepsilon}_1 < \varepsilon_* : \quad (3.8)$$

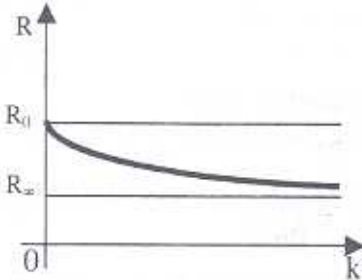
$R(k) > 0, k \in [0; \infty]$ ;  $R(k)$  монотонно возрастает от значения  $R_0 > 0$  до значения  $R_\infty > 0$  (фиг. 2, а);

$$2) \bar{\varepsilon}_2 > 1, \bar{\varepsilon}_1 = \varepsilon_* : \quad (3.9)$$

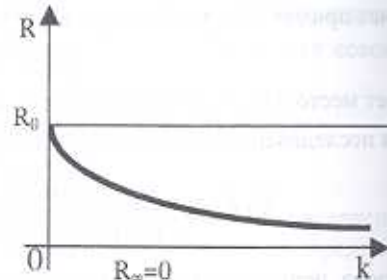
$R(k) > 0, k \in [0; \infty]$ ;  $R(k)$  монотонно возрастает от значения  $R_0 = 0$  до значения  $R_\infty > 0$  (фиг. 2, б);

$$3) \bar{\varepsilon}_2 < 1, d_1 = 0 \text{ или } \bar{\varepsilon}_2 < 1, \bar{\varepsilon}_1 < \bar{\varepsilon}_2 \varepsilon_* : \quad (3.10)$$

$R(k) > 0, k \in [0; \infty]$ ;  $R(k)$  монотонно убывает от значения  $R_0 > 0$  до значения  $R_\infty > 0$  (фиг. 3, а);



а)



б)

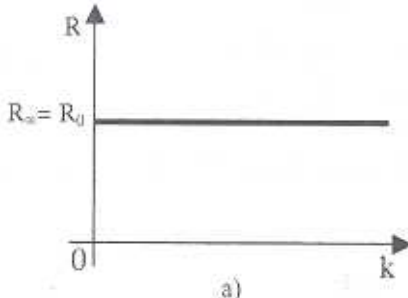
Фиг. 3

$$4) \bar{\varepsilon}_2 < 1, \bar{\varepsilon}_1 = \bar{\varepsilon}_2 \varepsilon_* : \quad (3.11)$$

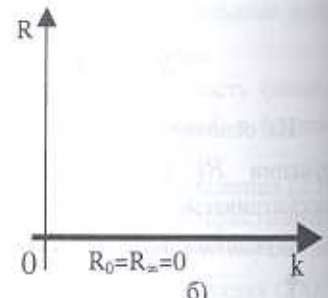
$R(k) > 0, k \in [0; \infty]$ ;  $R(k)$  монотонно убывает от значения  $R_0 > 0$  до значения  $R_\infty = 0$  (фиг. 3, б);

$$5) \bar{\varepsilon}_2 = 1, d_1 = 0 \text{ или } \bar{\varepsilon}_2 = 1, \bar{\varepsilon}_1 < \varepsilon_* : \quad (3.12)$$

$R(k) = R_0 = R_\infty = \text{const} > 0, k \in [0; \infty]$ ; (фиг. 4, а);



а)



б)

Фиг. 4

$$6) \bar{\varepsilon}_2 = 1, \bar{\varepsilon}_1 = \varepsilon_* : \quad (3.13)$$

$R(k) = R_0 = R_\infty = 0 = \text{const}, k \in [0; +\infty]$ , (фиг. 4, б)

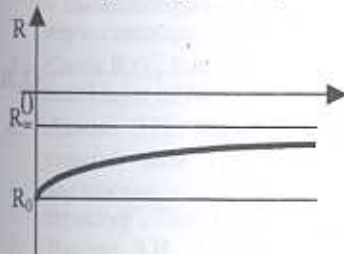
б) условия, при которых  $R(k) \leq 0$ :

$$\bar{\varepsilon}_2 > 1, \bar{\varepsilon}_1 = 0 \text{ или } \bar{\varepsilon}_2 > 1, \bar{\varepsilon}_1 = \bar{\varepsilon}_2 \varepsilon_* : \quad (3.14)$$

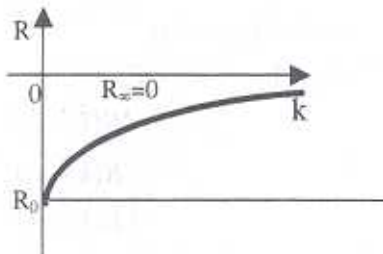
$R(k) < 0$ ,  $k \in [0; \infty]$ ;  $R(k)$  монотонно возрастает от значения  $R_0 < 0$  до значения  $R_\infty < 0$  (фиг. 5, а);

$$2) \bar{\varepsilon}_2 > 1, \quad \bar{\varepsilon}_1 = \bar{\varepsilon}_2 \varepsilon_* : \quad (3.15)$$

$R(k) < 0$ ,  $k \in [0; \infty]$ ;  $R(k)$  монотонно возрастает от значения  $R_0 < 0$  до значения  $R_\infty = 0$  (фиг. 5, б);



а)

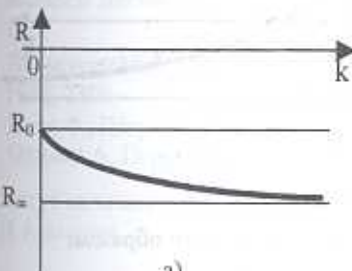


б)

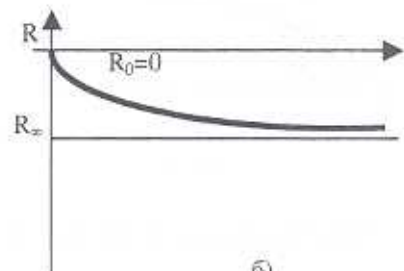
Фиг. 5

$$3) \bar{\varepsilon}_2 < 1, \quad e_1 = 0 \text{ или } \bar{\varepsilon}_2 < 1, \quad \bar{\varepsilon}_1 > \varepsilon_* : \quad (3.16)$$

$R(k) < 0$ ,  $k \in [0; \infty]$ ;  $R(k)$  монотонно убывает от значения  $R_0 < 0$  до значения  $R_\infty < 0$  (фиг. 6, а);



а)



б)

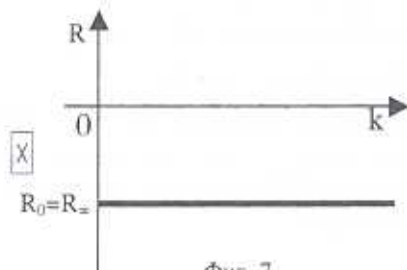
Фиг. 6

$$4) \bar{\varepsilon}_2 < 1, \quad \bar{\varepsilon}_1 = \varepsilon_* : \quad (3.17)$$

$R(k) < 0$ ,  $k \in [0; \infty]$ ;  $R(k)$  монотонно убывает от значения  $R_0 = 0$  до значения  $R_\infty < 0$  (фиг. 6, б);

$$5) \bar{\varepsilon}_2 = 1, \quad e_1 = 0 \text{ или } \bar{\varepsilon}_2 = 1, \quad \bar{\varepsilon}_1 > \varepsilon_* : \quad (3.18)$$

$R(k) = R_0 = R_\infty = \text{const} < 0$  (фиг. 7.);



Фиг. 7

в) условия, при которых  $R(k)$  знакопеременная;

$$1) \bar{\varepsilon}_2 > 1, \quad \varepsilon_* < \bar{\varepsilon}_1 < \bar{\varepsilon}_2 \varepsilon_* : \quad (3.19)$$

$$R(k) < 0 \quad k \in [0; k_*]$$

$$R(k) = 0 \quad k = k_*$$

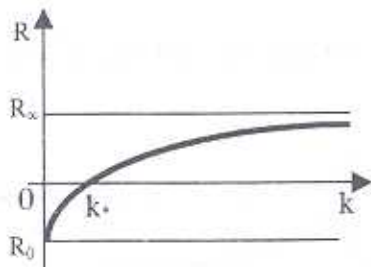
$$R(k) > 0 \quad k \in [k_*; \infty]$$

монотонно возрастает от значения  $R_0 < 0$  до значения  $R_\infty > 0$ , обращаясь в нуль в точке  $k_*$ . (Р(к) фиг. 8 а);

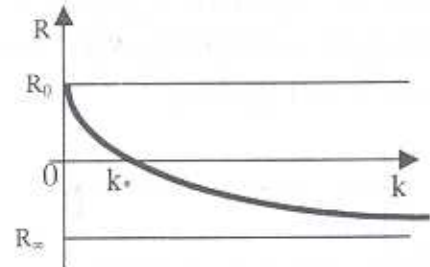
$$2) \bar{\varepsilon}_2 < 1, \quad \bar{\varepsilon}_2 \varepsilon_* < \bar{\varepsilon}_1 < \varepsilon_* : \quad (3.20)$$

$$\begin{cases} R(k) > 0 & k \in [0; k_*] \\ R(k) = 0 & k = k_* \\ R(k) < 0 & k \in (k_*; \infty) \end{cases}$$

$R(k)$  монотонно убывает от значения  $R_0 < 0$  до значения  $R_\infty < 0$ , обращаясь в нуль в точке  $k_*$ . (фиг. 8 б);



а)



б)

Фиг. 8

Критические величины  $\varepsilon_*$  и  $k_*$  определяются следующим образом:

$$\varepsilon_* = (e_1/d_1)^2, \quad \operatorname{th} k_* = \frac{(d_1^2 \bar{\varepsilon}_1 - e_1^2) \bar{\varepsilon}_2}{\bar{\varepsilon}_2^2 e_1^2 - \bar{\varepsilon}_1 d_1^2} \quad (3.21)$$

Из вышеприведенного следует, что в зависимости от значений параметров  $\bar{\varepsilon}_1, \bar{\varepsilon}_2, e_1, d_1$ , характеризующих слоистую систему, КЭМС  $R(k)$  для поверхностных электроупругих волн Лява может иметь поведения, определяемые условиями (3.8)-(3.22), причем:

$R(k) > 0$  для подложек классов 6мм, 4мм, 6,4;

$R(k) \geq 0$  для подложек классов 6,4;

$R(k) < 0$  для подложек классов 622,422,6,4;

$R(k) \leq 0$  для подложек классов 6,4;

$R(k)$  знакопеременная для подложек классов 6,4.

Полученные результаты необходимы для исследования существования и поведения характеристического уравнения и мод поверхности волны, что будет сделано в следующей статье авторов.

## ЛИТЕРАТУРА

1. Love A.E.H. Some problems of Geodynamics.– Cambridge University Press, London, 1911, 180p.
2. Дълесан Э., Руайе Д. Упругие волны в твердых телах. М.: Наука, 1982. 424с.
3. Кессених Г.Г., Любимов В.И., Шувалов Л.А. О поверхностных волнах Лява в пьезоэлектриках.// Кристаллография. 1982, Т.27, №3. С.437-443
4. Багдасарян Г.Е., Даноян З.Н., Манукян Г.А. Поведение мод сдвиговых волн Лява в пьезоэлектрических подложках с диэлектрическим слоем.–Материалы Всесоюз. науч. семинара, Ереван, 1991. С.49-54
5. Curtis R.G., Redwood M. Transvers surface wave on a piezoelectric material carrying a metal layer of finite thickness. // J. Appl. Phys., 1973, vol.44, №5, p.2002-2007
6. Даноян З.Н., Манукян Г.А. Поведение мод сдвиговых поверхностных электроупругих волн Лява в гексагональных и тетрагональных пьезоэлектрических подложках с проводящим слоем. Тезисы докладов “Механика неоднородных структур”, Львов, 1991. С. 101.
7. Даноян З.Н., Манукян Г.А. О поверхностных электроупругих волнах Лява в пьезоэлектрических подложках с металлизированным диэлектрическим слоем. // Изв. АН Арм. ССР, Механика. 1995. Т. 48. №3. С.43-52.
8. Кессених Г.Г., Любимов В.И., Филиппов В.В. Поперечные поверхностные акустические волны для изотропной подложки с пьезоэлектрическим слоем. // Акуст. журнал. 1985. Т.31. вып.4. С.492-495
9. Аветисян А.С. Поверхностные сдвиговые волны в пьезоэлектрическом полупространстве с диэлектрическим слоем.–III Всесоюзн. симпоз. « Теоретические вопросы магнитоупругости » ( тезисы докладов ), Ереван - Цахкадзор, 1984, с. 7-10.
10. Балакирев М.К., Гилинский И.А. Волны в пьезоэлектриках.– Новосибирск: Наука, 1982, 240с.
11. Иона Ф., Ширане Д. Сегнетоэлектрические кристаллы.–М.:Мир,1965
12. Олинер А. Поверхностные акустические волны.–М.:Наука,1981, 281 с.

Институт механики  
НАН Армении

Поступила в редакцию  
24.10.2003